

3. Bates D. R., Kingston A. E. Properties of a decaying Plasma. *Planet. Space Sci.*, 1963, vol. 11, No. 1.
4. Holstein T. Imprisonment of resonance Radiation in Gases. *Phys. Rev.*, 1947, vol. 72, p. 1212.
5. Гордиец Б. Ф., Гудзенко Л. И., Шелепин Л. А. Релаксация заселеностей уровней водорода. Инверсность в распадающейся высокоионизованной плазме. Препринт ФИАН, 1967, № 29.
6. Собельман И. И. Введение в теорию атомных спектров. М., Физматгиз, 1963.
7. Гудзенко Л. И., Филиппов С. С., Шелепин Л. А. Ускоренно рекомбинирующая плазменная струя. *ЖЭТФ*, 1966, т. 51, вып. 4.
8. Гордиец Б. Ф., Гудзенко Л. И., Шелепин Л. А. Об охлаждении свободных электронов плазмы. *Ж. техн. физ.*, т. 36, вып. 9.
9. Гудзенко Л. И., Колесников В. Н., Соболев Н. Н., Шелепин Л. А. Об использовании высокоионизованной плазмы для создания лазера. *Магнитная гидродинамика*, 1965, т. 1, № 3.
10. Гудзенко Л. И., Финкельберг В. М. Импульсный разряд в химически активной среде как источник оптического излучения, препринт ФИАН, 1967, № 16.
11. Гольдфарб В. М., Ильина Е. В., Костычова И. Е., Лукьянов Г. А., Силантьев В. А. О заселенности уровней водорода в аргоново-водородной плазменной струе. *Оптика и спектроскопия*, 1966, т. 20, вып. 6.
12. Bockasten K., Lundholm T., Andrade O. Laser Lines in atomic and molecular Hydrogen. *J. Opt. Soc. of America*, 1966, vol. 56, No. 9.

ЧИСЛЕННОЕ РЕШЕНИЕ ЗАДАЧИ О РАЗВИТИИ ЛАМИНАРНОЙ СТРУИ В КАНАЛЕ

Л. А. Вулис, К. Е. Джаяугаштин

(Ленинград)

Приводятся результаты расчета на ЭЦВМ уравнений Навье—Стокса для течения вязкой несжимаемой проводящей жидкости, возникающего при втекании плоской ламинарной струи в канал конечной ширины при воздействии магнитного поля (для $R_m \ll 1$).

Задача сводится к следующему. В плоский канал с поперечным размером, равным единице, через щель шириной в одну десятую ширины канала, втекает струя жидкости. Внешнее однородное магнитное поле (случай малых значений магнитного числа Рейнольдса $R_m \ll 1$) ориентировано поперек канала. Индуцированные токи предполагаются короткозамкнутыми через электроды (боковые стенки канала). Начальный профиль скорости принят равномерным (значение скорости на входе равно единице). В расчете варьируется расположение щели на торцевой стенке канала относительно оси его, и значение чисел Рейнольдса R и Гартмана H .

Конкретные расчеты (для $R = 50$) выполнены для различных значений безразмерного расстояния оси щели от оси канала ($\bar{y} = 0, 0.1, 0.2, 0.3, 0.4, 0.45$) и нескольких значений чисел Рейнольдса и Гартмана.

Исходные уравнения для нестационарного течения запишем в виде

$$\begin{aligned} \frac{\partial u}{\partial t} + R \left(u \frac{\partial u}{\partial x} + v \frac{\partial u}{\partial y} \right) &= - \frac{\partial p}{\partial x} + \frac{\partial^2 u}{\partial y^2} - Hu \quad \left(H = \frac{\sigma B^2 L^2}{\eta} \right) \\ \frac{\partial v}{\partial t} + R \left(u \frac{\partial v}{\partial x} + v \frac{\partial v}{\partial y} \right) &= - \frac{\partial p}{\partial y} + \frac{\partial^2 v}{\partial x^2}, \quad \frac{\partial u}{\partial x} + \frac{\partial v}{\partial y} = 0, \end{aligned}$$

Вводя функцию тока

$$u = \partial \psi / \partial y, \quad v = - \partial \psi / \partial x$$

получим

$$\frac{\partial \Phi}{\partial t} + R \left(\frac{\partial \psi}{\partial y} \frac{\partial \Phi}{\partial x} - \frac{\partial \psi}{\partial x} \frac{\partial \Phi}{\partial y} \right) = \nabla^2 \Phi - H \frac{\partial^2 \psi}{\partial y^2}, \quad \Delta^2 \psi = \Phi. \quad (1)$$

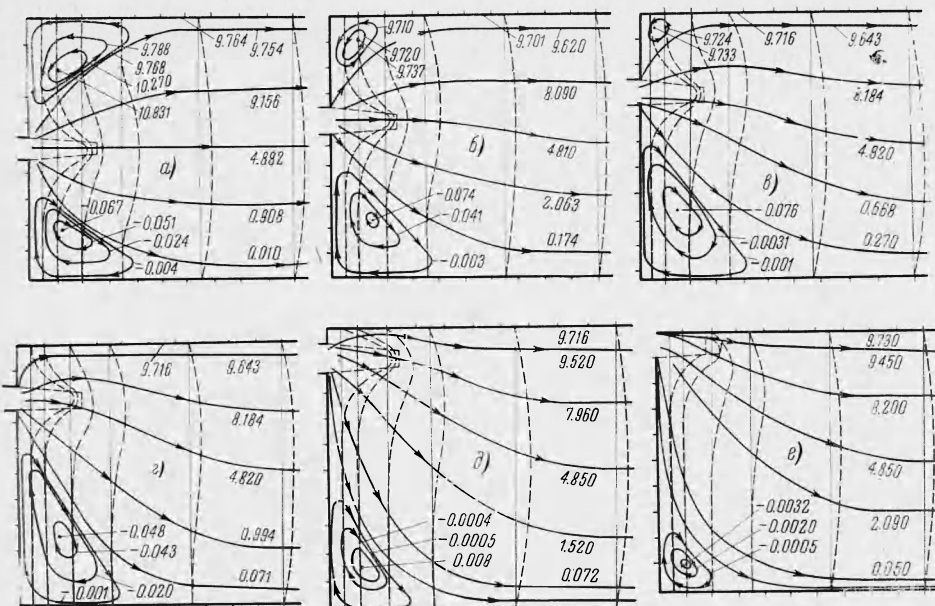
Уравнения записаны в безразмерном виде; в качестве масштабов скорости и размеров приняты, соответственно, значения скорости на выходе из щели и ширина рассматриваемой щели.

В конечно-разностном представлении уравнения (1) имеют вид

$$\begin{aligned} \Psi_{i,k}^{n+1} = & \left[\Psi_{i,k}^n + \Delta t \left\{ \frac{\Phi_{i+1,k}^n + \Phi_{i-1,k}^n}{(\Delta x)^2} + \frac{[(\Phi_{i,k+1}^n + \Phi_{i,k-1}^n) + H(\Psi_{i,k+1}^n + \Psi_{i,k-1}^n)] (\Delta x)^2}{(\Delta x)^2 (\Delta y)^2} - \right. \right. \\ & - 2 \frac{[(\Delta x)^2 + (\Delta y)^2] \Psi_{i,k}^n + H\Psi_{i,k}^n (\Delta x)^2}{(\Delta x)^2 (\Delta y)^2} - R \left(\frac{\Psi_{i,k+1}^n - \Psi_{i,k-1}^n}{2\Delta y} \frac{\Phi_{i+1,k}^n - \Phi_{i-1,k}^n}{2\Delta x} - \right. \\ & \left. \left. - \frac{\Psi_{i+1,k}^n - \Psi_{i-1,k}^n}{2\Delta x} \frac{\Phi_{i,k+1}^n - \Phi_{i,k-1}^n}{2\Delta y} \right) \right] \end{aligned} \quad (2)$$

$$\Psi_{i,k}^{n+1} = \frac{(\Psi_{i+1,k}^{n+1} + \Psi_{i-1,k}^{n+1}) (\Delta y)^2 + (\Psi_{i,k+1}^{n+1} + \Psi_{i,k-1}^{n+1}) (\Delta x)^2}{2 [(\Delta x)^2 + (\Delta y)^2]} - \frac{(\Delta x)^2 (\Delta y)^2 \Psi_{i,k}^{n+1}}{2 [(\Delta x)^2 + (\Delta y)^2]} \quad (3)$$

Решение конечно-разностного уравнения проводилось на ЭЦВМ методом, использованным в работах Л. М. Симуни¹ [1, 2].



Фиг. 1

Границные условия для функций ψ и φ в конечно-разностном представлении могут быть выражены следующим образом.

Границный контур составлен из трех стенок канала (со щелью на торцевой стенке) и нормальной к оси канала плоскости вниз по течению. Последняя выбирается в области установившегося течения Гартмана. При этом, как обычно, для вязкой жидкости на твердых стенках вектор скорости равен нулю, в пределах щели профиль скорости однороден и меняется во времени по закону $V = 1 - e^{-kt}$ (k — постоянная). Наконец, на границе вниз по течению задается профиль скорости в течении Гартмана при расходе жидкости, отвечающем каждому моменту времени. Графически этот профиль находился из решения конечно-разностных уравнений для одномерного движения. Эти условия определяют распределение функции тока на всем границном контуре во времени.

Границные же условия для функции φ , согласно [1], определяются по формуле

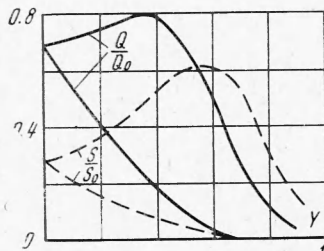
$$\varphi = 2 \frac{\psi_w^{(n)} - \psi_i^{(n)}}{(\Delta y)^2}$$

Здесь ψ_w и ψ_i — соответственно значения функций тока на стенке и в смежном с нею (на один шаг) слое.

¹ Отметим с благодарностью консультацию и помощь Л. М. Симуни в выполнении данной работы.

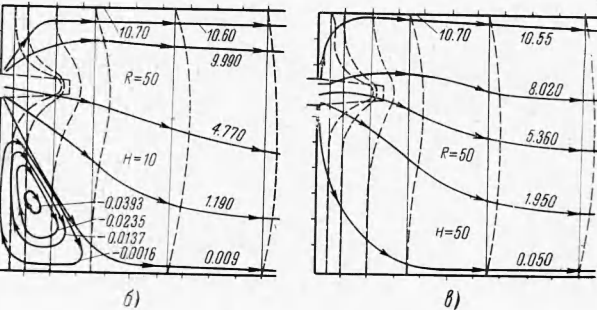
Порядок счета коротко сводится к следующему. Значение функции $\varphi_{i,k}^{n+1}$ находится по известным $\psi_{i,k}^n$ и $\psi_{i,k}^n$ для предыдущего момента времени из уравнения (2). После этого методом интегрирования из уравнения (3) находится значение $\psi_{i,k}^{n+1}$. Расчет проводился до получения установившегося течения.

Относительно выбора шага заметим, что расчет показал достаточность шага $\Delta x = \Delta y = 5 \cdot 10^{-3}$. При этом шаг по времени Δt и постоянная k выбирались такими, чтобы обеспечить достаточную плавность изменения функций.



Фиг. 2

На фиг. 2 приведены некоторые данные, характеризующие интенсивность циркуляционного движения в застойных зонах — в углах канала при различном расположении щели. Сплошная линия показывает относительный расход жидкости, циркулирующей в застойной зоне (за масштаб взято значение Q_0 расхода жидкости, втекающей в канал через щель). Пунктиром показано изменение геометрической характеристики застойной зоны — площади, ограниченной нулевой или максимальной линией тока, отнесенной к условной единице площади (квадрат со стороной, равной ширине канала).



Фиг. 3

Эти кривые являются дополнительной наглядной иллюстрацией асимметрии течения, видной из графиков на фиг. 1.

На фиг. 3, а показана картина течения для значения $R = 200, H = 0$ при симметричном расположении щели. В этом случае (сравнительно с течением при $R = 50$) относительные размеры застойных зон и интенсивность циркуляции в них равно возрастают. При малых значениях числа R (примерно до $R \approx 20$) застойные зоны отсутствуют — обтекание углов происходит практически плавно.

Проследим за изменением этой картины под влиянием приложенного поперечного магнитного поля. Наложение поперечного магнитного поля уменьшает размеры и интенсивность циркуляционных зон — вплоть до полного исчезновения. Во всех случаях (симметричное или несимметричное течение) этот эффект оказывается тем сильнее, чем больше значение числа Гартмана и меньше значение числа Рейнольдса.

В качестве примера на фиг. 1, в и фиг. 3, б, в показаны линии тока для случая несимметричного расположения щели. Данные, приведенные на фиг. 1, в и фиг. 3, б, в, относятся к числу $R = 50$ и значениям $H = 0.10$ и 50 . Как видно, сначала подавляется меньшая циркуляционная зона (в верхнем углу канала на фиг. 3, б), а затем при дальнейшем росте числа H исчезает и нижняя зона.

Таким образом, поперечное поле, тормозящее течение, приводит к уменьшению возвратных течений в углах канала и, в конечном счете, к плавному безотрывному

движению. В противоположность этому, продольное поле увеличивает циркуляционные зоны, однако заметный эффект наблюдается при существенно больших значениях числа Гартмана.

В качественном отношении эти эффекты должны сохраняться и при турбулентном движении.

В целом полученные данные позволяют построить наглядную кинематическую картину рассматриваемого течения. Не вдаваясь в подробности, отметим, что образование застойных и циркуляционных зон в углах канала (сохраняющиеся при турбулентном течении) и возможности активного на них воздействия имеют существенное значение для некоторых приложений, например стабилизации пламени и др.

Поступила 1 IV 1968

ЛИТЕРАТУРА

- Симуни Л. М. Численное решение некоторых задач движения вязкой жидкости. Иж. ж., 1964, т. 4, вып. 3.
- Джаугашвили К. Е., Озерова Е. Ф., Симуни Л. М. Магнитогидродинамическое течение в начальном участке плоского канала. Сб. трудов 5-го Рижского совещания по МГД, июль, 1966.

АНАЛИЗ ЯВЛЕНИЯ ОТРАЖЕНИЯ УДАРНОЙ ВОЛНЫ ОТ ТОКОВОЙ РЕШЕТКИ

Л. А. Заклязьминский

(Новосибирск)

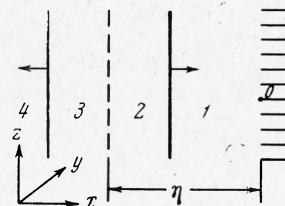
В приближении одномерной нестационарной магнитной гидродинамики выполнен теоретический анализ процесса взаимодействия сильной ударной волны с магнитным полем токовой решетки. Результаты расчета сравниваются с данными эксперимента [1].

Основные допущения при расчете следующие: 1) принимается приближение одномерной нестационарной магнитной гидродинамики; 2) газ считается идеальным с постоянными коэффициентами, процессы диссоциации и ионизации не учитываются; 3) из диссипативных процессов учтено только выделение в газе джоулева тепла. Некоторые другие допущения будут сформулированы по ходу решения задачи.

Для теоретического анализа схему взаимодействия можно представить следующим образом: пусть слева направо по направлению оси x движется ударная волна. В плоскости $x = 0$ (фиг. 1) расположена идеально проводящая «стенка» (решетка), абсолютно проницаемая для непроводящего газа. В момент $t = 0$ в решетке начинает течь ток в направлении оси y с поверхностью плотностью i .

Ударная волна в этот момент находится на расстоянии $x = -l$ от решетки. Поскольку скорость ударной волны значительно меньше скорости света c и время lc^{-1} мало по сравнению с временем процесса, то считаем, что при $t = 0$ между ударной волной и решеткой устанавливается постоянное магнитное поле $H_{00} = 4\pi c^{-1}i$, направленное по оси z .

Если газ за ударной волной проводящий, то в нем потечет ток в направлении, противоположном току в решетке, и появится тормозящая сила. В результате такого «удара» ударной волны о магнитное поле возникает отраженная ударная волна, а ослабленная падающая волна (преломленная волна) пройдет в магнитное поле. Частицы, в месте которых при $t = 0$ находилась падающая ударная волна, образуют контактную поверхность, разделяющую газы, скатые ударными волнами различной интенсивности. По мере продвижения падающей ударной волны по направлению к решетке напряженность магнитного поля и скорости ударных волн изменяются, поэтому в областях между падающей волной и контактной поверхностью (область 2 фиг. 1), контактной поверхностью и отраженной ударной волной (область 3) параметры газа (включая и энтропию) есть функции x и t . В областях перед падающей (1) и за отраженной (4) волнами параметры газа постоянны.



Фиг. 1